

Regresando al caso escalar libre, sabemos que  $\hat{q}(\vec{p})|0\rangle \propto |\vec{p}\rangle$ , y podemos encontrar una interpretación física directa para  $\hat{q}(\vec{x})$  notando que

$$\hat{q}(\vec{x})|0\rangle = \int \frac{d^3 p}{(2\pi)^3} \frac{e^{i\vec{p} \cdot \vec{x}}}{\sqrt{2E_{\vec{p}}}} (\hat{a}_{\vec{p}} + \hat{a}_{-\vec{p}}^\dagger) |0\rangle$$

$$\stackrel{\vec{p} \rightarrow -\vec{p}}{=} \int \frac{d^3 p}{(2\pi)^3 2E_{\vec{p}}} e^{-i\vec{p} \cdot \vec{x}} |\vec{p}\rangle \equiv |\vec{x}\rangle$$

↗ combinación invariante de Lorentz  
 ↗  $\frac{1}{\sqrt{2E_{\vec{p}}}} |\vec{p}\rangle$   
 ↗ estos relativistas en partícula definida (tanto como lo posible)

sería  $\approx m$  en caso no relativista      ↗      sería  $\langle \vec{p} | \vec{x} \rangle$  en caso no relativista

Ej decir,  $\hat{q}(\vec{x})$  es un operador que crea (o destruye) una partícula localizada en  $\vec{x}$ .

Parando al ámbito de Heisenberg, se encuentra sintonicamente que  $\hat{q}(t, \vec{x})$  crea/destruye una partícula en  $\vec{x}$  al tiempo  $t$ ,

$$\hat{q}(\vec{x})|0\rangle = \int \frac{d^3 p}{(2\pi)^3 2E_{\vec{p}}} e^{+iE_{\vec{p}}t - i\vec{p} \cdot \vec{x}} |0\rangle \equiv |\vec{x}\rangle .$$

Vale la pena destacar que la aparición de  $t$  en  $|\vec{x}\rangle \equiv |\vec{x}^n\rangle = |t, \vec{x}\rangle$  No se debe a que estemos hablando de un ámbito en el ámbito de Schrödinger:

$|x\rangle$  es por definición un estado en el cuadro de Heisenberg, que tiene la propiedad de que, si lo examinamos en  $t$ , encontraremos a la partícula en  $\vec{x}$ , y es por eso que  $t$  figura como parte del nombre del estado.

En el caso de un campo complejo, recordando (p.31) que  $\hat{\Phi} \sim \hat{a} + \hat{b}^\dagger$  y  $\hat{\Phi}^\dagger \sim \hat{a}^\dagger + \hat{b}$ , el enunciado correspondiente es que

$\hat{\Phi}(x)$  destruye una partícula o crea una antipartícula  
 localizada en  $x$

$\hat{\Phi}^\dagger(x)$  crea una antipartícula o destruye una partícula:  
 localizada en  $x$

$$\hat{\Phi}^\dagger(x)|0\rangle \equiv |x_n\rangle, \quad \hat{\Phi}(x)|0\rangle \equiv |x_{\bar{n}}\rangle.$$

↑ nombre de partícula  
 (p.ej.  $\pi^+$ )

↑ antipartícula correspondiente  
 (p.ej.  $\pi^-$ )

Habiendo entendido lo anterior, podemos ahora hacermos la única pregunta física que nos falta explorar en este teoría libre. Dado que las partículas no interactúan, lo único que pueden hacer es propagarse

libremente de un sitio a otro. Es interesante entonces preguntarnos qué tan probable es que tal cosa ocurra.

Concretamente, si  $t > t'$  y sabemos que la partícula está en  $\vec{x}$  al tiempo  $t$ , ¿cuál es

la amplitud de probabilidad de que la encuentremos en  $\vec{x}'$  al tiempo  $t'$ ?

Sabiendo que el primer dato corresponde

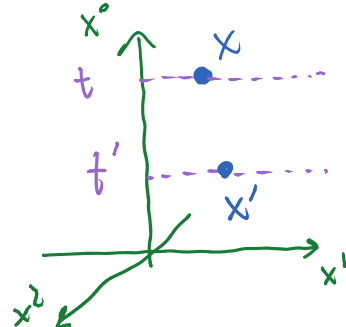
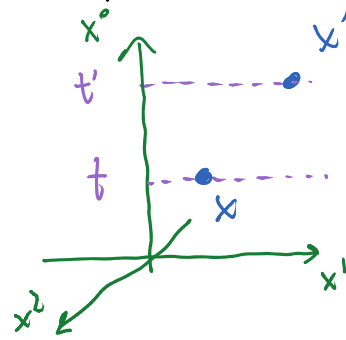
al estado  $|x\rangle$  y el segundo a  $|x'\rangle$  (en el anexo de Heisenberg), la respuesta está dada simplemente por el traslape (producto interno) entre ambos estados,

$$\langle x' | x \rangle = \langle 0 | \hat{\varphi}(x') \hat{\varphi}(x) | 0 \rangle .$$

↑ crea partícula en  $x$   
aniquila partícula en  $x'$

Si  $x$  fuese en cambio posterior a  $x'$  ( $t > t'$ ), en el uso cotidiano del lenguaje no interesaría la amplitud de propagación de  $x'$  a  $x$  (y no al revés),

$$\langle x | x' \rangle = \langle 0 | \hat{\varphi}(x) \hat{\varphi}(x') | 0 \rangle = \langle x' | x \rangle^* .$$



Es natural (y útil) definir entonces una amplia  
de propagación que puede referirse a cualquiera de los  
2 operadores, según corresponda:

$$G(x', x) \equiv \langle x' | x \rangle \Theta(x''^o - x^o) + \langle x | x' \rangle \Theta(x^o - x''^o)$$

$$\Theta(y) = \begin{cases} 1 & \text{si } y > 0 \\ 0 & \text{si } y < 0 \end{cases}$$

$$= \langle 0 | (\hat{\phi}(x') \hat{\phi}^\dagger(x) \Theta(x''^o - x^o) + \hat{\phi}^\dagger(x) \hat{\phi}(x') \Theta(x^o - x''^o)) | 0 \rangle$$

$$= \langle 0 | T \{ \hat{\phi}(x') \hat{\phi}^\dagger(x) \} | 0 \rangle$$

orden temporal: ordenar operadores de  
modo que el tiempo aumente  
de derecha a izquierda

Esta combinación se conoce como el propagador de Feynman,

y es habitual representarla como una línea que conecta

a los eventos  $x$  y  $x'$ , aunque

denotar solo erógenéticamente, como

punto que No hacen referencia a

un diagrama espaciotemporal específico.

La invariancia bajo translaciones

en el espacio-tiempo implica que  $G(x', x) = G(x' - x)$ .

El cálculo de este propagador para nuestro campo libre



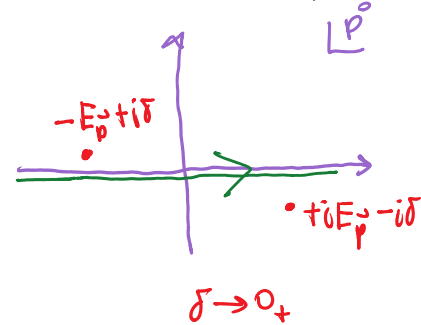
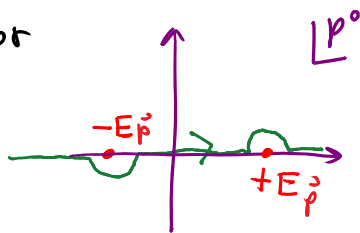
la linea No se  
refiere a una trayectoria  
definida: la partícula  
es cuántica !!

no presenta ninguna dificultad conceptual (¡estamos lidando solo con osciladores armónicos!) ; pero no nos detendremos a hacerlo (ver ejercicio 4). El resultado es sencillo y se puede escribir en una forma manifestamente invariante bajo Lorentz :

$$G(x', x) = i \int \frac{d^4 p}{(2\pi)^4} \frac{e^{-ip \cdot (x' - x)}}{p^2 - m^2}$$

Propagador de Feynman  
para campo vectorial libre  
(Klein-Gordon)

donde la notación integral sobre  $p^\circ$  significa que los ordenes planos que tenemos aquí están fuera de la capa de muro (off-shell),  $p^\circ \neq E_p$  ( $p^2 \neq m^2$ ), y requiere una receta específica para lidiar con los polos simpler que el integrando tiene en  $p^\circ = \pm E_p$ , receta indicada en el diagrama de la derecha (equivale a polarizar brevemente excursiones en el plano complejo para la variable de integración  $p^\circ$ ). Esto es equivalente a integrar sobre  $p^\circ$  real para desplazar los polos un poquito,



por lo que también es frecuente escribir

$$G(x', x) = i \int \frac{d^4 p}{(2\pi)^4} \frac{e^{-ip \cdot (x' - x)}}{p^2 - m^2 + i\epsilon} \quad \text{con } \epsilon \rightarrow 0^+ \quad (\epsilon \equiv 2E_p \delta)$$

Más fácil de recordar, e igualmente útil, es la transformada de Fourier

$$\tilde{G}(p) = \frac{i}{p^2 - m^2} \quad \text{o} \quad \frac{i}{p^2 - m^2 + i\epsilon}$$

Propagador de Feynman  
en espacios de momento  
(para Klein-Gordon)

que es habitual representar como

$$\frac{\cancel{p}}{p^2 - m^2} \quad \begin{matrix} \leftarrow \text{no se indican puntos} \\ \text{inicial y final} \end{matrix}$$

flecha optativa para indicar el sentido en el que fluye  $p^\mu$ :  $\cancel{p} \rightarrow = -\cancel{p} \leftarrow$

En el caso de un campo escalar Complejo, definir

$$G(x', x) \equiv \langle 0 | T \{ \hat{\Phi}(x') \hat{\Phi}^\dagger(x) \} | 0 \rangle = \begin{cases} \langle 0 | \hat{\Phi}(x') \hat{\Phi}^\dagger(x) | 0 \rangle & \text{si } x' > x \\ \langle 0 | \hat{\Phi}^\dagger(x) \hat{\Phi}(x') | 0 \rangle & \text{si } x > x' \end{cases}$$

$\nearrow$  crece partícula  
 $\nwarrow$  crece antipartícula

$$\left( \leftrightarrow G^*(x', x) = \langle 0 | T \{ \hat{\Phi}^\dagger(x') \hat{\Phi}(x) \} | 0 \rangle \right),$$

y es habitual denotarlo como una línea con flecha que

índice (por convención) la dirección en la que se propaga(rá) la partícula (opuesta a la dirección de propagación de la antipartícula).

El resultado para  $G(x',x)$  del campo escalar

complejo es el mismo que vimos ya para el campo real.

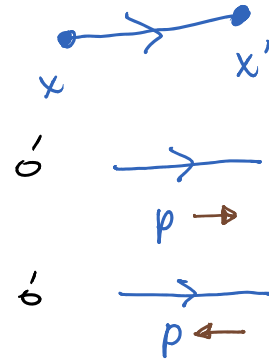
Recordando que nuestro campo tiene además la capacidad de describir a un número arbitrario de partículas, podemos interesarnos también calcular la amplitud de probabilidad de empezar con algún número  $n$  de partículas en  $x_1, \dots, x_n$  y terminar con otro número  $n'$  de partículas en  $x'_1, \dots, x'_{n'}$ . Esta amplitud está codificada en el correlador (o función de correlación, o función de Green) de  $N$  puntos

$$G_N(x_1, x_2, \dots, x_N) \equiv \langle 0 | T\{\hat{\phi}(x_1)\hat{\phi}(x_2)\dots\hat{\phi}(x_N)\} | 0 \rangle$$

(con  $N=n+n'$  y  $x_{n+j} \equiv x'_j$ ).

$\leftarrow$  notar que  $G(x',x) = G_2(x',x)$

Pero en la teoría libre, las partículas no se interactúan una con otra, y el número de partículas no cambia ( $n=n' \Rightarrow N$  debe ser par), así que conocemos la



amplitud de propagación de 1 partícula teniendo ya todo la información necesaria para el caso general. Usando el llamado "teorema de Wick" (ver ejercicio 5e), es posible mostrar que

$$G_N(x_1, \dots, x_N) = \begin{cases} 0 & \text{si } N \text{ es impar} \\ G(x_1, x_2) G(x_3, x_4) \cdots G(x_{N-1}, x_N) \\ + G(x_1, x_3) G(x_2, x_4) \cdots & \text{si } N \text{ es par} \\ + \text{todas las otras permutaciones} \end{cases}$$

que se puede visualizar con dibujitos:

$$G_N(x_1, \dots, x_N) = \underbrace{\begin{array}{c} x_1 \xrightarrow{} x_2 \\ x_3 \xrightarrow{} x_4 \\ \vdots \\ x_{N-1} \xrightarrow{} x_N \end{array}}_{\text{par}} + \underbrace{\begin{array}{c} x_1 \downarrow x_2 \\ x_3 \downarrow x_4 \\ \vdots \\ x_{N-1} \downarrow x_N \end{array}}_{\text{todas las } \binom{N}{2} = \frac{N!}{2!(N-2)!} \text{ opciones existen en el mismo pie, porque los particulares son idénticos}} + \dots$$

$$= \begin{array}{c} x_1 \xrightarrow{} x_3 \\ x_2 \xrightarrow{} x_4 \\ \vdots \\ x_{N-1} \xrightarrow{} x_N \end{array}$$

= Suma sobre todas las "diagramas de Feynman"

con  $N$  puntos  $x_1, \dots, x_N$  conectados por líneas (donde la presencia de más de una línea representa el producto de los  $G$  correspondientes)

Hasta ahora hemos hablado de un

campo libre  $\longleftrightarrow$   $L$  cuadrático (ec. de mov. lineal)

$\longleftrightarrow$  Modos de Fourier desacoplados

$\longleftrightarrow$  Partículas no interactuantes

Si agregamos a  $L$  términos cubicos en  $\varphi$  o más altos, la ec. de mov. para  $\varphi$  ya no será lineal, y los modos de Fourier  $\varphi(t, \vec{p})$  no estarán ya desacoplados ( $\therefore$  no serán modos normales). La situación se vuelve bastante confusa porque este cambio no solo hace que las partículas interactúen entre sí, sino que modifica incluso la definición misma de lo que es una partícula  $|\vec{p}\rangle$  ( $\therefore$  también del vacío  $|0\rangle$ ). El punto clave es que al permitir que las viejas partículas ( $\leftrightarrow$  modo de Fourier) interactúen uno con otro, inevitablemente acabarán también interactuando consigo mismas.

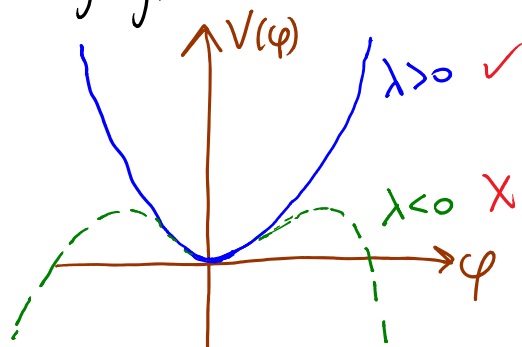
La relación entre el campo y las partículas será mucho más sutil.

Para la teoría libre, descubrimos / entendemos la relación entre el campo  $\hat{\varphi}(x)$  y las partículas asociadas (sus "cuantos" bárticos  $\leftrightarrow$  excitaciones más pequeñas posibles) solo después de resolver de forma exacta la ecuación de Klein-Gordon. Y para el caso de un campo interactuante, No se obtiene apreciable semejante proza, porque la ecuación de movimiento es no lineal.

Para ser más concretos, consideremos la teoría de un campo escalar real con densidad lagrangiana

$$\mathcal{L} = \underbrace{\frac{1}{2} (\partial_\mu \varphi)^2}_{\text{Término Cinético}} - \underbrace{\frac{1}{2} m^2 \varphi^2 - \frac{\lambda}{4!} \varphi^4}_{\text{Energía Potencial}}$$

$$\begin{aligned} \text{Término Cinético} &\equiv -V(\varphi) \\ \text{Energía Potencial} & \end{aligned}$$



El parámetro  $\lambda$ , que determina la intensidad de las interacciones, se conoce como constante de acoplamiento.

El momento canónico conjugado a  $\varphi(x)$  sigue siendo

$$\Pi(x) \equiv \frac{\partial \mathcal{L}}{\partial \dot{\varphi}(x)} = \dot{\varphi}(x), \quad \text{y el proceso}$$

de cuantización involucrará por supuesto el reemplazo

$$\varphi(x), \Pi(x) \longrightarrow \hat{\varphi}(x), \hat{\Pi}(x) \quad (\text{en el cuadro de Heisenberg})$$

con las reglas de commutación usuales

$$\boxed{[\hat{\varphi}(t, \vec{x}), \underbrace{\hat{\pi}(t, \vec{x}')}_{\dot{\hat{\varphi}}(t, \vec{x}')}] = i \delta^{(3)}(\vec{x}' - \vec{x}), \quad [\hat{\varphi}, \hat{\varphi}] = 0 = [\hat{\pi}, \hat{\pi}].}$$

Pero la ec. de Heisenberg para  $\hat{\varphi}(x)$  (que coincide con la ec. de mov. clásica)

$$(\partial^2 + m^2) \hat{\varphi}(x) = -\frac{\lambda}{3!} \hat{\varphi}^3(x)$$

es No lineal, y ∴  $\hat{\varphi}(x)$  No puede ya expresarse como una combinación lineal de ondas planas con coeficientes

$$\hat{a}_p \text{ y } \hat{a}_p^\dagger.$$

$\hookrightarrow$  teoría débilmente acoplada

Por otro lado, si las interacciones son débiles ( $\leftrightarrow \lambda \ll 1$ ), esperaríamos que la dinámica del campo se pueda aproximar con una expansión perturbativa en potencias de  $\lambda$ , que tenga como punto de partida al campo libre ( $\lambda=0 \Rightarrow \mathcal{L}=\mathcal{L}_{\text{KG}}$ ).

Notando que podemos separar al Hamiltoniano

$$\mathcal{H} = \underbrace{\int d^3x \left[ \frac{1}{2} \pi^2 + \frac{1}{2} (\vec{\nabla} \varphi)^2 + \frac{1}{2} m^2 \varphi^2 \right]}_{\equiv \mathcal{H}_0 \leftarrow \text{libre}} + \underbrace{\int d^3x \frac{\lambda}{4!} \varphi^4}_{\equiv \mathcal{H}_{\text{int}} \leftarrow \text{interacción}},$$

nos conviene definir un cuadro en donde el operador de campo (y todos los operadores) evolucionen no con  $\hat{\mathcal{H}}$  sino con  $\hat{\mathcal{H}}_0$ .

Es decir, en lugar del cuadro de Schrödinger,

$$\hat{\mathcal{O}}_S, \quad |\psi(t)\rangle_S = e^{-i\hat{H}t} |\psi(0)\rangle_S, \quad ,$$

o el de Heisenberg,

$$\hat{\mathcal{O}}_H(t) \equiv e^{i\hat{H}t} \hat{\mathcal{O}}_S e^{-i\hat{H}t}, \quad |\psi\rangle_H \equiv e^{i\hat{H}t} |\psi(t)\rangle_S = |\psi(0)\rangle_S, \quad ,$$

usaremos el llamado cuadro de interacción (o de Dyson,

o de Tomonaga)

$$\hat{\mathcal{O}}_I(t) \equiv e^{i\hat{H}_0^s t} \hat{\mathcal{O}}_S e^{-i\hat{H}_0^s t} = e^{i\hat{H}_0^s t} e^{-i\hat{H}t} \hat{\mathcal{O}}_H(t) e^{i\hat{H}t} e^{-i\hat{H}_0^s t},$$

$$|\psi(t)\rangle_I = e^{i\hat{H}_0^s t} |\psi(t)\rangle_S = e^{i\hat{H}_0^s t} e^{-i\hat{H}t} |\psi(0)\rangle_S = e^{i\hat{H}_0^s t} e^{-i\hat{H}t} |\psi\rangle_H.$$

En este cuadro tenemos, por construcción, que la ec. de evolución para los operadores involucra solo al Hamiltoniano libre,

$$i\partial_t \hat{\mathcal{O}}_I(t) = [\hat{\mathcal{O}}_I(t), \hat{H}_0^s] \quad (+ i\partial_t \hat{\mathcal{O}}_I(t)) \\ = [\hat{\mathcal{O}}_I(t), \hat{H}_0^I] \quad \begin{matrix} \uparrow \text{si hay dependencia} \\ \text{explícita de } t \end{matrix}$$

(donde para la segunda igualdad hemos usado el hecho de que

$$\hat{H}_0^I \equiv e^{i\hat{H}_0^s t} \hat{H}_0^s e^{-i\hat{H}_0^s t} = \hat{H}_0^s = \int \mathbb{J}^3 x \left[ \frac{1}{2} \hat{\Pi}_I^2 + \frac{1}{2} (\vec{\nabla} \hat{\varphi}_I)^2 + \frac{1}{2} m^2 \hat{\varphi}_I^2 \right].$$

Esto es cierto en particular para  $\hat{\varphi}_I(x)$ , que satisface entonces la ec. de mov. libre,

$$( \partial^2 + m^2 ) \hat{\varphi}_I(x) = 0$$

Klein-Gordon -

Podemos entonces desarrollar como anter

$$\hat{\phi}_I^-(x) = \int \frac{d^3 p}{(2\pi)^3} \frac{1}{\sqrt{2E_p}} \left( e^{-ip \cdot x} \hat{a}_p + e^{ip \cdot x} \hat{a}_p^\dagger \right) |_{\substack{\text{independientes de } t \\ p^0 = E_p \equiv \sqrt{\vec{p}^2 + m^2}}}$$

y las relaciones de commutación implican inmediatamente que

$$[\hat{a}_p, \hat{a}_{p'}^\dagger] = (2\pi)^3 \delta^{(3)}(\vec{p} - \vec{p}') , \quad [\hat{a}_p, \hat{a}_{p'}] = 0 .$$

Además, tenemos evidentemente que

$$\hat{H}_0^I := \int \frac{d^3 p}{(2\pi)^3} E_p \hat{a}_p^\dagger \hat{a}_p .$$

Todo esto resulta muy reconfortante, pero hasta ahora, parece que solo estamos jugando a evadirnos de  $\hat{H}_{int}$ !

Como habrás dicho, el efecto de las interacciones se ve ahora en la evolución de los estados,  $\hat{H}_0 + \hat{H}_{int}$

$$\begin{aligned} |\Psi(t)\rangle_I &= e^{i\hat{H}_0^I t} |\Psi(t)\rangle_S = e^{i\hat{H}_0^I t} e^{-i\hat{H}(t-t')} |\Psi(t')\rangle_S \\ &= \underbrace{e^{i\hat{H}_0^I t} e^{-i\hat{H}(t-t')}}_{\hat{U}_I(t,t')} e^{-i\hat{H}_0^I t'} |\Psi(t')\rangle_I \end{aligned}$$

$\hat{U}_I(t,t')$  Operador de evolución

(en el cuadro de interacciones)

Felizmente, este objeto aparentemente horribil puede ser reescrito puramente en términos de  $\hat{\phi}_I^-(x)$ :

orden temporal (p. 37)

definido por  
Taylor

Hamiltoniano de interacción,

en el cuadro de interacción

$$\hat{U}_I(t, t') = T \left\{ \exp \left[ -i \int_{t'}^t d\tau \hat{H}_{int}^I(\tau) \right] \right\}$$

$$= T \left\{ \exp \left[ -\frac{i\lambda}{4!} \int_{t'}^t dy \hat{\phi}_I^4(y) \right] \right\}$$

$\hat{c} \sim \hat{a} + \hat{a}^\dagger$

$$= T \left\{ 1 - \frac{i\lambda}{4!} \int_{t'}^t dy \hat{\phi}_I^4(y) + \frac{1}{2!} \left( \frac{-i\lambda}{4!} \right)^2 \int_{t'}^t dy_1 \hat{\phi}_I^4(y_1) \int_{t'}^t dy_2 \hat{\phi}_I^4(y_2) + \dots \right\}$$

↑ serie de Taylor en  $\lambda$ , tal como deseábamos

Ahora, ¿qué querriamos calcular? No es nada claro, porque la jugada ha cambiado por completo:

- El estado  $|0\rangle$  tal que  $\hat{a}_p^\dagger |0\rangle = 0$  &  $\vec{p}$   
No es (no tendría por qué ser) el Vacío,  
el estado en menor energía en la teoría,  
que denotaremos  $|0\rangle$ .
- El estado  $\hat{a}_p^\dagger |0\rangle$  No es el estado de  
1 partícula, que seguiremos denotando  $|\vec{p}\rangle$ .
- La masa de los partículas asociadas al campo  
ya No es  $m$ . No tiene por qué serlo:

La conexión que encontramos entre  $m^2 = \partial_{\vec{q}}^2 V(0)$  y la masa de los partículas la describimos como resultado (incorporado) de un cálculo en el caso específico del campo libre.

- El operador  $\hat{q}$  ya no solo crea 1 partícula:

$$\hat{q}(\vec{p}) | \Omega \rangle \sim f_1 | \vec{p} \rangle + \int \frac{d^3 p'}{(2\pi)^3 2E_{\vec{p}'}} f_2(\vec{p}') | \vec{p} - \vec{p}', \vec{p}' \rangle + \dots$$

Ante esta falta de claridad, como punto intermedio podemos primero identificar cantidades que están níticamente definidas a nivel del lenguaje de la teoría, y después preocuparnos de cómo extraer física de ellas. Una elección que resulta muy útil es plantearnos la meta de determinar las correlaciones (o funciones de correlación, o funciones de Green) de  $N$  puntos:

$$G_N(x_1, \dots, x_N) = \langle \Omega | T \{ \hat{q}_H(x_1) \cdots \hat{q}_H(x_N) \} | \Omega \rangle ,$$

orden ↑      Operador en      El vacío verdadero  
temporal      cuadro de Heisenberg      (con dependencia temporal completa)

que en el caso libre están directamente amplitud de propagación (pp. 40-41), y aquí nuevamente las

podemos pensar como algo similar; aunque lo que exploran directamente es el patrón de correlación entre los valores del campo en los distintos puntos  $x_1, \dots, x_N$ , en el vacio  $|0\rangle$ . (Justo como para un oscilador armónico los estados  $|n\rangle$  con energía definida no tienen valor definido para  $\hat{x}$ , en un campo (incluso si es libre), los estados con energía definida, incluidos en particular el vacio  $|0\rangle$ , no tienen valor definido para  $\hat{\phi}$ .)

Aunque no es obvio, resulta ser el caso que toda la información física de cualquier teoría de campo se puede extraer de los correladores  $G_{\nu}(x_1, \dots, x_N) \forall N$ .

Así que lo mete en la vida de cualquier campista es poder calcular estos funciones!

Afortunadamente, usando la conexión entre el anillo de Heisenberg y el cuadro de interacción se puede mostrar que

$$\langle S_2 | T \{ \hat{\phi}_H(x_1) \dots \hat{\phi}_H(x_N) \} | 0 \rangle = \lim_{T \rightarrow \infty (1-i\varepsilon)} \frac{\langle 0 | T \{ \hat{\phi}_I(x_1) \dots \hat{\phi}_I(x_N) \exp \left[ -i \int_{-T}^T dt \hat{H}_{int}^I(t) \right] \} | 0 \rangle}{\langle 0 | T \{ \exp \left[ -i \int_{-T}^T dt \hat{H}_{int}^I(t) \right] \} | 0 \rangle}$$

Recordando que  $\int_{-T}^T dt \hat{H}_{int}^I(t) = -\frac{\lambda}{4!} \int_{-T}^T dy^4 \hat{\phi}_I^4(y)$ , ¡veras!

que esta fórmula reduce el cálculo de cada correlador

$G_N$  de la teoría interactuante al cálculo de correladores para un campo libre,  $G_N^{(0)}$  (fundamentalmente  $N' \geq N$ )!

Y estos últimos de hecho mencionados en la p. 41 que son muy fácil de calcular: es simplemente suma de producto de propagadores libres  $G_2^{(0)}(x, x') = G(x, x')$  (pp. 38-39)

que pueden resumirse con diagramas de Feynman. P.ej.

$$G_4^{(0)}(x_1, \dots, x_4) = \text{Diagrama circular} = x_1 \cdot \text{Diagrama lineal} + x_2 \cdot \text{Diagrama lineal} + x_3 \cdot \text{Diagrama lineal} + x_4 \cdot \text{Diagrama lineal}$$

$\equiv$  suma sobre todos los maneras de conectar los 4 puntos dados con líneas ( $\leftrightarrow$  propagadores)

$$= G(x_1, x_2)G(x_3, x_4) + G(x_1, x_3)G(x_2, x_4) + G(x_1, x_4)G(x_2, x_3).$$

La novedad en la teoría interactuante es que, por la presencia de

$$T \left\{ 1 - \frac{i\lambda}{4!} \int d^4 y_1 \hat{\varphi}_I^4(y_1) + \frac{1}{2!} \left( \frac{-i\lambda}{4!} \right)^2 \int d^4 y_1 \hat{\varphi}_I^4(y_1) \int d^4 y_2 \hat{\varphi}_I^4(y_2) + \dots \right\},$$

tendremos que calcular términos como

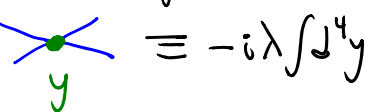
$$\langle 0 | T \{ \hat{\varphi}(x_1) \hat{\varphi}(x_2) \hat{\varphi}(x_3) \hat{\varphi}(x_4) \left( \frac{-i\lambda}{4!} \right) \int d^4 y_1 \hat{\varphi}_I^4(y_1) \} | 0 \rangle,$$

donde 4 inserciones de  $\hat{\varphi}_I$  coinciden en el mismo punto

$y_i$ , que además ( $\neq$  diferencia de  $x_1, \dots, x_n$ ) no esté fijo, sino que se integre sobre todo el espacio-tiempo.

En los diagramas correspondientes, el punto  $y_i$  donde se produce el efecto de la interacción será un sitio donde 4 líneas confluyen, en vértice de 4 ptos,

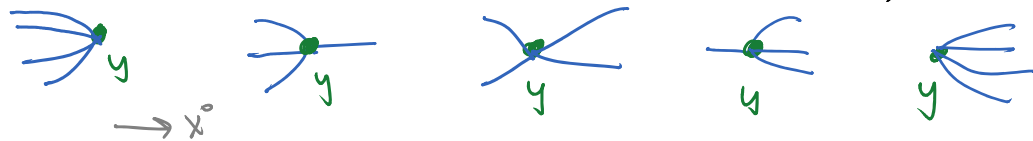
que es entonces un nuevo ingrediente para nuestros

repertorio gráfico:   $\equiv -i\lambda J^4 y$  (el factor de  $4!$  se asume cancelado)

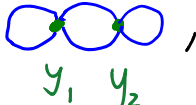
Físicamente, el efecto de la interacción

$$\hat{Q}_F^4(x) \sim (\hat{a} + \hat{a}^\dagger)^4 \sim \hat{a}^4 + \hat{a}^3 \hat{a}^\dagger + \hat{a}^2 \hat{a}^\dagger \hat{a}^\dagger + \hat{a} \hat{a}^\dagger \hat{a}^\dagger + \hat{a}^\dagger 4$$

es permitir probar donde el número de partículas cambia de  $4 \rightarrow 0$ , de  $3 \rightarrow 1$ , de  $2 \rightarrow 2$ , de  $1 \rightarrow 3$ , o de  $0 \rightarrow 4$



Usando líneas y estos vértices, se arman combinaciones

como  , que sí están creciendo en los puntos externos ( $\leftrightarrow$  argumentos de  $G_N$ ), y como  , que no lo están.

Los primeros describen correcciones a la amplitud de propagación de los partículas; los segundos, conocidos como "burbujas de vacío", describen correcciones a la definición del vacío ( $|0\rangle$  a  $|L\rangle$ ). En ambos

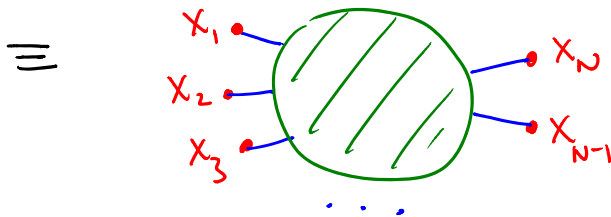
En ambas casas, los diagramas de Feynman tienen una utilidad lícita (si  $\lambda \ll 1$ ). Por una parte, nos permiten visualizar el efecto de las interacciones como procesos donde se crean y/o aniquilan partículas (en grupos de 4 para  $c^4$ ).

Las que existen solo efímeramente, entre procesos sucesivos de interacción, se conocen como partículas virtuales ( $\leftrightarrow p^2 + m^2$ ).

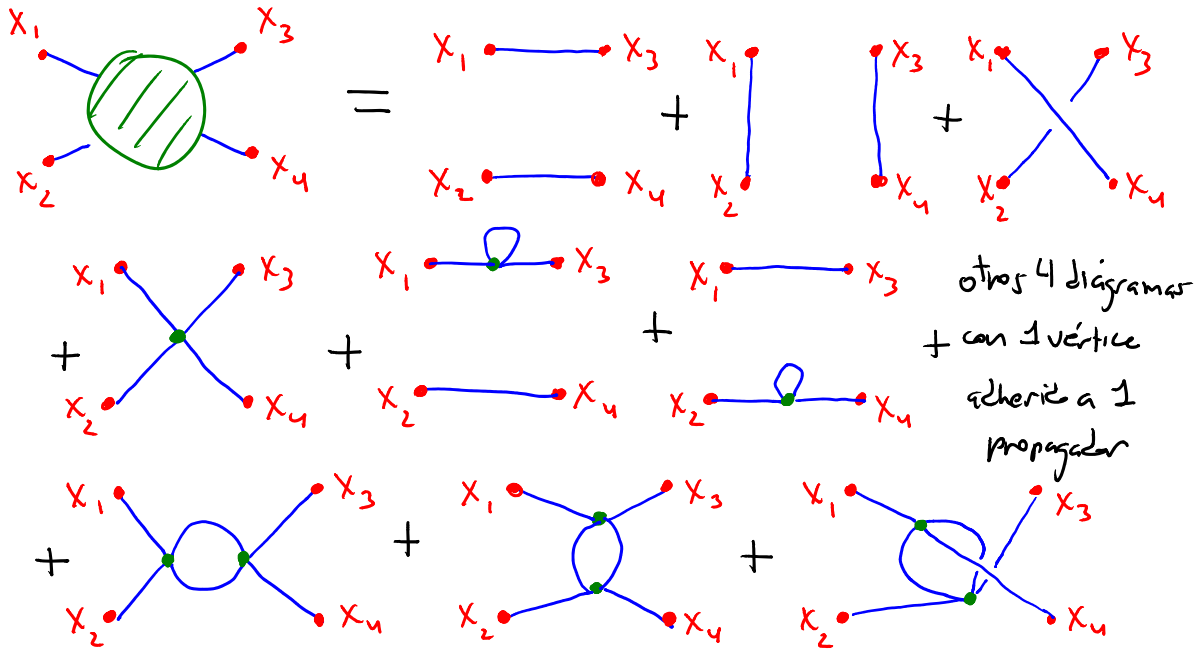
Por otra parte, los diagramas son una herramienta eficiente para hacer cálculos, gracias a las instrucciones explícitas que nos permiten convertir cada diagrama en una fórmula, instrucciones conocidas como reglas de Feynman.

Cuando uno mira los detallar, se encuentra que

$$G_N(x_1, \dots, x_N) = \text{Suma sobre todos los diagramas } \underline{\text{conexos}} \\ (\text{es decir, sin burbujas de vacío}) \text{ topológicamente} \\ \text{distintos con } N \text{ puntos externos } x_1, \dots, x_N$$



P.ej., la función de 4 puntos  $G_4(x_1, x_2, x_3, x_4)$  está dada por



Resumiendo lo que hemos aprendido, y omitiendo desde ahora en adelante los colores que habíamos usado para distinguir entre puntos externos e internos, las reglas de Feynman para calcular funciones de correlación en la teoría  $\varphi^4$  en espacio de posición son:

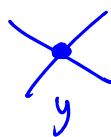
- o) Dibujar todos los diagramas conexos con  $N$  puntos externos, usando propagadores libres y vértices de 4 patas.

- 1) Por cada propagador, asignar un factor de

$$\underset{x}{\bullet} \text{---} \underset{x'}{\bullet} \equiv G(x, x')$$

(amplitud de probabilidad de propagación libre).

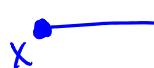
2) Por cada vértice, asignar un factor de



$$\equiv -i\lambda \int d^4y$$

(amplitud de probabilidad de que 1 partícula se convierta en 3, ó 2 en 2, ó 3 en 1, ó 0 en 4, ó 4 en 0).

3) Por cada punto externo, asignar un factor de



$$\equiv 1$$

(~amplitud de probabilidad de que la partícula que está en x esté en x).

4) Multiplicar los factores asociados a todos los partes.

5) Dividir entre el "factor de simetría", un numerito que

depende de las propiedades del diagrama, y evita sobrecontar procesos (no hace falta tal corrección en p.ej. QED)

o QCD.

Frecuentemente es más fácil trabajar en espacio de momento, cosa que es natural en particular si queremos calcular los propios corredores en espacio de momento,

$$\tilde{G}(p_1, \dots, p_N) = \int d^3x_1 \dots d^3x_N e^{ip_1 \cdot x_1} \dots e^{ip_N \cdot x_N} G_N(x_1, \dots, x_N).$$

En este caso los diagramas no tienen punto externo asociado a los posiciones  $x_n$ , sino punto externo asociado a los momentos  $p_n$ .

Los reglas de Feynman correspondientes son:

- o) Dibujar todos los diagramas conexos con  $N$  partes externas, usando propagadores libres y vértices de 4 partes

- 1) Por cada propagador, asignar un factor de

$$\overrightarrow{p} \equiv \tilde{G}(p) = \frac{i}{p^2 - m^2 + i\epsilon} \quad (\text{amplitud de probabilidad de propagación libre}).$$

- 2) Por cada vértice, asignar un factor de

$$\times \equiv -i\lambda, \text{ imponiendo } \underline{\text{a mano}} \text{ la conservación del cuadrimomento que fluye a través del vértice}$$

(amplitud de probabilidad de que ocurra un proceso con  $0 \rightarrow 4, 1 \rightarrow 3, 2 \rightarrow 2, 3 \rightarrow 1, \text{ ó } 4 \rightarrow 0$  particular).

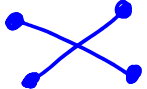
- 3) Por cada parte externa, asignar un factor de

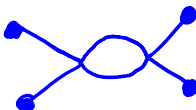
$$\overleftarrow{p} \equiv 1$$

- 4) Multiplicar los factores asociados a todas las partes de cada diagrama, e integrar  $\int \frac{d^4 p}{(2\pi)^4}$  sobre los momentos que quedan indeterminados:

$$\begin{pmatrix} \# \text{ de} \\ (\text{integrales}) \end{pmatrix} = \begin{pmatrix} \# \text{ de} \\ (\text{propagadores}) \end{pmatrix} - \begin{pmatrix} \# \text{ de} \\ (\text{vértices}) \end{pmatrix}$$

$$= \binom{\# \text{ de puntos}}{\text{externos}} + \binom{\# \text{ de }}{\text{lazos}} - 1$$

(P.ej.,   $\Rightarrow 4 - 1 = 3 = 4 + 0 - 1$ , ✓)

  $\Rightarrow 6 - 2 = 4 = 4 + 1 - 1$ , ✓

  $\Rightarrow 5 - 2 = 3 = 2 + 2 - 1$ . ✓ )

5) Dividir entre el factor de simetría del diagrama (si lo hay).

Perfecto: ya tenemos una recta completamente sistemática para cumplir con la aspiración en la vida de los campistas: calcular los correladores  $G_N$  ó  $\tilde{G}_N \forall N$ .

Ahora, ¿less para qué nos sirve?

Bueno, antes de contestar eso, debemos primero poder visualizar de algún modo el comportamiento de nuestros campos interactuante. Hasta ahora, la única creación que conocemos entre un solitario cuántico y una colección de partículas se refiere a este  $\langle \vec{p}_1, \vec{p}_2, \dots, \vec{p}_N \rangle$  donde los particular individuales se identifican / etiquetan por sus momentos  $\vec{p}_n$  y tienen energías  $E_{\vec{p}_n} = \sqrt{\vec{p}_n^2 + m^2}$  (porque eso es lo que llamamos una partícula) ; pero la energía total es  $E = E_{\vec{p}_1} + \dots + E_{\vec{p}_N}$ , lo cual parece restringirnos fuertemente a partículas libres.

¿Cómo podrímos encontrar entre los estados cuánticos de nuestro campo interactuante partículas que conserven suficiente individualidad como para que podamos identificarlas como tales, pero al mismo tiempo sí interactúen?

Una pista proviene del hecho de que, si bien es cierto

que en el mundo real las partículas en general no son libres, la situación experimental usual se refiere a un proceso de dispersión, donde un cierto número de partículas se encuentran inicialmente (en " $t \rightarrow -\infty$ ") separadas entre sí por distancias macroscópicas, luego se aproximan e interactúan (en " $t \sim 0$ "), para finalmente separarse de nuevo (cuando " $t \rightarrow +\infty$ ").

Si las interacciones entre las partículas son (al menos aproximadamente) locales, entonces disminuyen en intensidad con la distancia, así que cuando " $t \rightarrow \pm\infty$ " tenemos un estado inicial/final en el que las partículas son aproximadamente libres. Son estas partículas las que queremos describir con los estados multipartículas que recién construimos. Esto pudiera sonar confuso, porque las partículas de las que hablamos tienen un momento  $\vec{p}$  completamente definido, y por tanto una posición  $\vec{x}$  completamente incierta, con lo cual no queda claro en qué sentido podemos separarlas unas de otras...

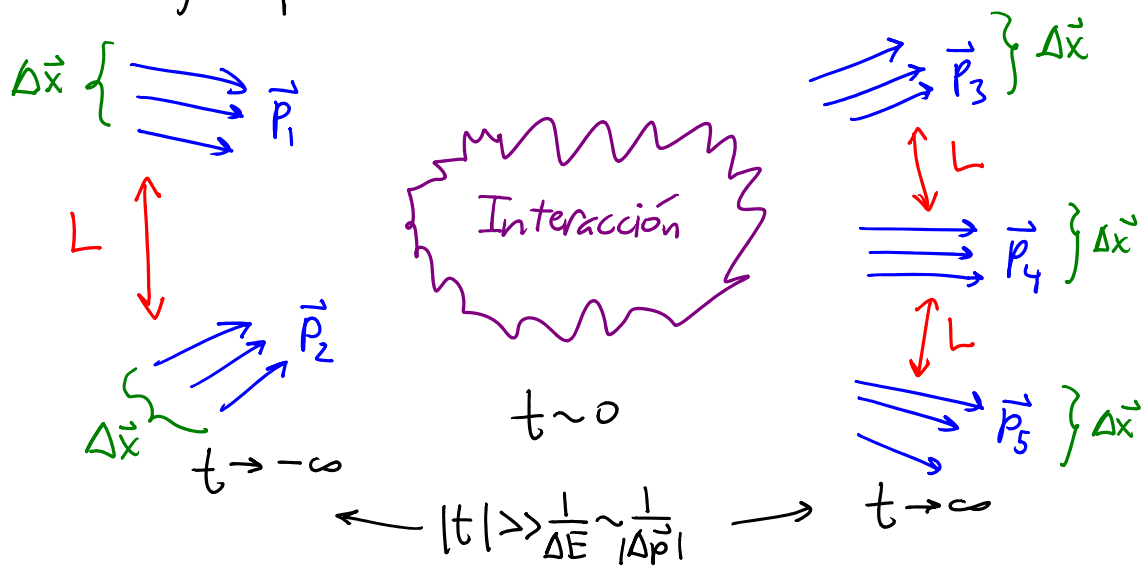
Lo que en realidad queremos decir es que cuando

$t \rightarrow \pm\infty$  tenemos paquetes de onda de tamaño  $|\Delta \vec{x}|$  mucho

mayor que la longitud de onda asociada al momento

promedio  $|\vec{p}|$  del paquete,  $|\Delta \vec{x}| \gg \lambda_{\text{de Broglie}} \sim \frac{1}{|\vec{p}|}$ ,

pero con una separación  $L$  entre paquetes que es aún mucho mayor que este tamaño:



De esta manera satisfacemos por un lado  $|\vec{p}| \gg |\Delta \vec{p}|$ , así que las partículas se pueden aproximar por ondas planas en momento definido, y por otro lado  $L \gg |\Delta \vec{x}|$ , así que las partículas se pueden considerar no interactuantes.

Podemos definir entonces un estab entrante / saliente

$$|\vec{p}_1, \dots, \vec{p}_N; \pm\rangle$$

asintótico

como aquel estab en el cuadro de Heisenberg en el cual se detectarán las partículas indicadas si se realiza una medición al tiempo  $t \rightarrow \mp\infty$ .

Para comparar con resultados experimentales, nuestro objetivo principal será entonces calcular los tránsitos entre los estados entrantes y los salientes,

$$\langle \vec{p}'_1, \dots, \vec{p}'_N; i^- | \vec{p}_1, \dots, \vec{p}_N; i^+ \rangle \equiv S_{p'_1, \dots, p'_N} \equiv S_{I' I}$$

que representan la amplitud de probabilidad de que ocurran los procesos de dispersión señalados, y se conocen como amplitud de dispersión o (toda juntas) la matriz S (o matriz de dispersión).

Estas amplitudes están muy directamente relacionadas con las cantidades que los físicos experimentales miden directamente: "sección eficaz" y "tasa de decaimiento".

Ahora que entendemos dónde buscar la información física, tiene por fin sentido preguntarnos cómo extraer física a partir de las cantidades teóricas que ya sabemos calcular, las funciones de correlación.

Y la buena noticia es que hay una relación estrecha entre los correladores en espacio de momento,  $\tilde{G}_n(p_1, \dots, p_n)$  y las amplitudes de dispersión.

SIN invocar la expansión perturbativa (y sin restringir por tanto a la región de acoplamiento fuerte), se pueden demostrar 2 resultados generales:

I) Mientras que en una teoría libre encontramos que

$$\tilde{G}_2^{(0)}(p) = \frac{i}{p^2 - m^2}, \quad \text{con } m^2 = \partial_{\vec{p}} V(0),$$

en una teoría interactiva se encuentra que,

por cada parcial que exista (otras asintóticas  $|\vec{p}\rangle$ )

crece en algún medida a algún operador de campo,  $\hat{\theta} |\Omega\rangle \sim |\vec{p}\rangle + \dots$  ), ↑ en acuerdo de Heisenberg

↑ no necesariamente un  $\hat{\phi}$  lógico (puede ser un operador compuesto como p.ej.  $\hat{\phi}^2$ )

se tiene  $\equiv |\langle \vec{p} | \hat{\theta}(0) | \Omega \rangle|^2$  "cte. de renormalización del campo"

$$\tilde{G}_2(p) = \frac{i Z_0}{p^2 - M^2} + \dots$$

↑ Fourier de

$$\langle \Omega | T\{\hat{\theta} \hat{\theta}\} | \Omega \rangle$$

masa física (o renormalizada) de la partícula:  $E_p = \sqrt{\vec{p}^2 + M^2} \leftrightarrow p^2 = M^2$   
 $\neq m^2$  "masa desnuda"

(Esto es parte de lo que se conoce como la "representación espectral" de Källén-Lehmann.)

II) Más en general, las partículas (de q de veras) se detectan siempre como polos en los  $\tilde{G}_N$ , y las amplitudes de dispersión son básicamente el residuo del polo múltiple asociado a todos los partículas involucradas:

$$\langle p'_1 \dots p'_N; - | p_1 \dots p_N; + \rangle = \lim_{\substack{p'^2_i \rightarrow M_i^2 \\ p^2_i \rightarrow M_i^2}} (\sqrt{\epsilon})^{-(N+N)} \frac{p'^2_1 - M_1^2}{i} \dots \frac{p'^2_N - M_N^2}{i} \frac{p^2_1 - M_1^2}{i} \dots \frac{p^2_N - M_N^2}{i} \tilde{G}_{N+N}(p'_1, \dots, p'_N, -p_1, \dots, -p_N)$$

$\hookrightarrow$  Todas las energías  $p'^o_i, p^o_i > 0$

Esto es lo llamado "fórmula de reducción" de Lehmann-Symanzik-Zimmermann (LSZ).

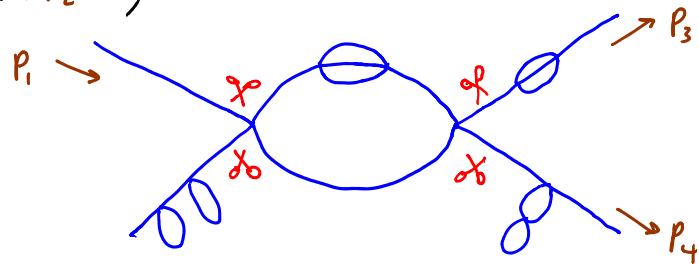
Si nos restringimos de nuevo a teorías débilmente acopladas, sabemos calcular  $\tilde{G}_N$  usando diagramas de Feynman, y al implementar a este nivel la fórmula de LSZ, se acaba encontrando que

$$\langle p'_1 p'_2 \cdots p'_N; - | p_1 p_2 \cdots p_N; + \rangle =$$

Suma sobre diagramas  
conexos y amputados

donde "amputar" un diagrama significa eliminar las patas externas, cortando cada una de ellas en el lugar más interno posible. P.ej., en el diagrama que vimos

recientemente,



habría que cortar en donde aparecen las tijeras: empezando en la punta de cada pata y caminando hacia el centro del diagrama, encontraríamos el último lugar donde la pata se desconecta del diagrama al conservar 1 sola línea, y cortar precisamente ahí, descartando incluso el propagador libre asociado a esa última línea (que por este razón denotaremos por ahora como punteada), y reemplazándolo por un factor de  $\sqrt{2}$  ( $= 1$  a orden más bajo en la

expansion perturbativa).

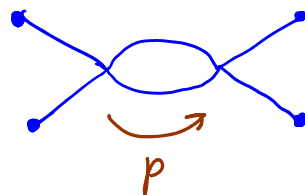
Al hacer cuentas en la práctica, siempre es relativamente fácil obtener resultados explícitos para los diagramas "a nivel árbol" ( $\equiv$  sin lazos, como p.ej.  ó ), pero más allá de eso nos encontramos genéricamente con 2 problemas:

1) En un diagrama con 1 ó más lazos, la(s) integral(es)

$$\int \frac{d^4 p}{(2\pi)^4}$$

sobre los momentos

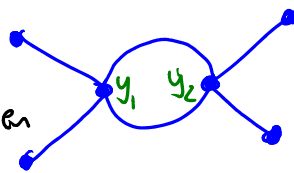
indeterminadas (uno por cada lazo)



en general No convergen para p's grandes,  $p^\mu \rightarrow \pm \infty$

En espacio de posiciones, estas

"divergencias ultravioleta" ( $\equiv$  UV) provienen



del límite de distancias pequeñas donde 2 o más

vértices coinciden en el espacio-tiempo,  $y_1^\mu \rightarrow y_2^\mu$ .

Si la teoría tiene la propiedad de ser "renormalizable",

estas divergencias UV se pueden eliminar ajustando

un número finito de parámetros (cuyos valores deduimos

de los datos experimentales). Este procedimiento

se conoce como renormalización, y tiene perfecto sentido

físico: no es más que un cambio de lenguaje, para

reportar nuestros resultados NO en términos de los parámetros "de nudo" que figuran en  $\mathcal{L}$  ( $m, \lambda, \dots$ ), sino de parámetros físicos ( $M, \Lambda, \dots$ ), relacionados con cantidades medibles.

[En teorías con partículas sin masa, como QED, para los propagadores  $\propto \frac{i}{p^2 + i\epsilon}$  pueden aparecer además "divergencias infrarrojas" ( $\equiv IR$ ), que corresponden a bajas energías,  $p^\mu \rightarrow 0$ , o lo que es lo mismo, distancias grandes,  $|y_1^\mu - y^\mu| \rightarrow \infty$ .]

2) El número de diagramas que se obtienen a  $\delta(\lambda^n)$  crece muy rápidamente — típicamente  $\sim n!$  —, de tal manera que  $G_N^{(n)} \sim \lambda^n n!$   
y ∴ la serie perturbativa NO converge.

Esto es un señal clara de que el método perturbativo NO contiene todo la física: existen efectos no perturbativos (típicamente  $\sim \exp(-1/\lambda)$ ): no desarrollables en Taylor), que son pequeños si el acoplamiento es débil.

Con lo anterior tenemos ya completo el paquete básico de ideas para un campo escalar débilmente acoplado. Debemos tener siempre presente que cuando el acoplamiento es fuerte ( $\lambda \sim 1$ , o peor aún,  $\lambda \gg 1$ ), la expansión perturbativa es completamente inválida: ¡no nos sirve ni como punto de cálculo ni de visualización!

Para entender a y hacer cálculos con campos No escalares, las ideas y herramientas básicas son las mismas, aunque en cada caso surgen novedades interesantes.

Algunos comentarios:

- Para describir partículas con espín 1, se utiliza un campo vectorial  $A_\mu(x)$ : una colección de 4 números en cada lugar, que bajo transformaciones de Poincaré (= Lorentz + translaciones),

$$x^\mu \rightarrow x'^\mu = A^\mu, x^r + c^\mu,$$

$\hookrightarrow$  matriz  $4 \times 4$  tal que  $A^T \eta A = \eta$

se mezclan de acuerdo con

$$\boxed{A'^\mu(x') = A^\mu, A^\nu(x)} .$$

↑ nuevo nombre del punto  
↓ nueva función característica

En el caso de un campo vectorial No masivo, como es el caso del potencial electromagnético, hay una novedad importante: la existencia de "transformaciones de gauge" (gauge). En el caso de electrodinámica la forma

$$\boxed{A_\mu(x) \rightarrow A'_\mu(x) = A_\mu(x) + \partial_\mu \Theta(x)}$$

en  $\Theta(x)$  una función arbitraria, y tienen las peculiaridades de que no producen ningún cambio en el sistema físico: las configuraciones  $A_\mu(x)$  y  $A'_\mu(x)$  son completamente equivalentes:  $| A'_\mu(x) \simeq A_\mu(x) + \Theta(x) |$ . Es decir, no solo es que la acción de Maxwell

$$S[A] = -\frac{1}{4} \int d^4x F_{\mu\nu} F^{\mu\nu} \quad \text{con } F_{\mu\nu} \equiv \partial_\mu A_\nu - \partial_\nu A_\mu$$

no cambia (como es el caso para una simetría), sino que los propios estados físicos NO cambian:

$| A_\mu(x) \rangle$  y  $| A'_\mu(x) \rangle$  son el mismo vector en el espacio de Hilbert.

En otras palabras, la invariancia de normas (más llamado simetría de normas) nos indica que nuestra descripción es redundante: tenemos más variables físicas de libertad físicas.

En el caso familiar de electrodinámica en realidad no debemos de resultar obvio:  $A_{\mu}(x)$  tiene 4 componentes, pero los fotones (o las ondas electromagnéticas clásicas) tienen solo 2 estados de polarización independientes.

Esta redundancia complica un poco el proceso de cuantificación, y acabamos teniendo básicamente 2 opciones:

1) Eliminar la redundancia ("fijar la norma")

por completo ANTES de cuantizar, para solo promover las variables físicas a operadores (p.ej., podemos tener la "norma de Coulomb"  $\vec{\nabla} \cdot \vec{A} = 0$ ,  $A_0 = 0$ , donde únicamente  $\vec{A}_\perp \rightarrow \hat{\vec{A}}_\perp$ . )  $\hookrightarrow$  en cuantizado bajo los mismos

2) Cuantizar PRIMERO,  $A_\mu \rightarrow \hat{A}_\mu$ , obteniendo una descripción cuántica redundante, donde el espacio de Hilbert es demasiado grande (existen estados que NO son físicos), y DESPUÉS eliminar

la redundancia (p.ej., en la "norma de Lorentz"),  $\partial_\mu A^\mu = 0$ , identificando cuáles deben ser físicas exigiendo que  $(\partial_\mu \hat{A}^\mu)_+ |0\rangle = 0$ ).

↑ parte de frecuencia positiva ( $\sim \hat{a}$ )

Un punto muy interesante es que, si tenemos un campo Complejo  $\underline{\Phi}(x)$  y un Campo de norma ( $\equiv$  vectorial sin masa)  $A_\mu(x)$ , la simetría interna (global)

$$\underline{\Phi}(x) \rightarrow e^{i\theta} \underline{\Phi}(x)$$

grado U(1)

puede agrandarse a un conjunto de rotaciones internas locales  $\underline{\Phi}(x) \rightarrow e^{i\theta(x)} \underline{\Phi}(x)$ ,  $A_\mu(x) \rightarrow A_\mu(x) + \partial_\mu \theta(x)$

con el simple truco de reemplazar en el término cinético a las derivadas usual por las derivadas covariantes,

$$D_\mu \underline{\Phi} \equiv (\partial_\mu + i A_\mu) \underline{\Phi} : \text{p.ej.}$$

$$\mathcal{L} = \frac{1}{2} D_\mu \underline{\Phi}^* D^\mu \underline{\Phi} - \frac{1}{2} m^2 \underline{\Phi}^* \underline{\Phi} \quad \text{para Klein-Gordon.}$$

↓ contiene  $\partial_\mu \underline{\Phi}^* \partial^\mu \underline{\Phi}$  y

términos de interacción  $\sim A \underline{\Phi}^* \underline{\Phi}, A^2 \underline{\Phi}^* \underline{\Phi}$

Y esto es LA razón en que el potencial electromagnético se adapta a los campos con cargas eléctricas.

El Modelo Estándar entero está basado en este principio de invariancia de norma, utilizando a campo de normas matriciales  $A_{IJ}^M(x)$  asociado a las "simetrías" local  $SU(3) \times SU(2) \times U(1)$  en lugar de  $U(1)$ .

- Para describir a partículas de espín  $\frac{1}{2}$ , como el electrón, usamos un campo espinorial

← un espino de birec en cada punto

$$\boxed{\Psi_a(x)}$$

$a = 1, 2, 3, 4$  índice que normalmente no se muestra explícitamente

$$\text{Bajo } x'^\mu = \Lambda^\mu_\nu x^\nu + c^\mu, \quad \Psi_a(x) \rightarrow \Psi'_a(x') = \eta_{ab}(\Lambda) \Psi_b(x)$$

↑ representación  
espinorial del  
grupo de Lorentz

$$\{\gamma^\mu, \gamma^\nu\} = 2\eta^{\mu\nu}$$

$$\text{Matriz } 4 \times 4 : \quad \gamma^\mu = \gamma^\mu_{ab}$$

$$\gamma^5 = i\gamma^0\gamma^1\gamma^2\gamma^3 \rightarrow \{\gamma^5, \gamma^\mu\} = 0$$

$$(\gamma^5)^2 = 1$$

$$\bar{\Psi}(x) \equiv \Psi^\dagger(x) \gamma^0 \quad \text{conjunto de Dirac}$$

$\bar{\Psi}\Psi$  es un escalar,  $\bar{\Psi}\gamma^m\Psi$  un vector, etc.

$$L_{\text{Dirac}} = \bar{\Psi} \underbrace{(i\gamma^m \partial_m - m)}_{\equiv \mathcal{D}} \Psi$$